

## 实验技术

# 梳状饱和法测量原子核自旋-晶格弛豫时间的探讨

陈家森 陈越民 王东生

(华东师范大学物理系)

原子核的自旋-晶格弛豫时间  $T_1^{[1]}$ , 自旋-自旋弛豫时间  $T_2$  都能反映核与它所处的物理化学环境之间的相互作用关系。  $T_1$ ,  $T_2$  在物理、化学、生物、医学中的应用越来越广泛<sup>[2,3]</sup>, 测量技术也随之不断的发展。对  $T_1$  的测量常用  $90^\circ - \tau - 90^\circ$  序列脉冲和  $180^\circ - \tau - 90^\circ$  脉冲来进行。这些方法的序列脉冲简单,但在第一个脉冲之后使磁化矢量严格旋转  $90^\circ$  或  $180^\circ$  是较难实现的,往往在  $z$  方向仍然有残余的磁化矢量分量,因此造成测量后数据处理上的复杂与误差较大等缺点,我们采用饱和序列测量,与上述方法比较,有很多优点。

## 一、梳状饱和序列脉冲测量 $T_1$ 的原理

梳状饱和法测量  $T_1$  就是用强射频场作用到原子核上,先使它饱和,然后去掉射频场让磁化矢量恢复,经过确定的时间  $t$ , 测量核磁化矢量的自由感应衰减信号或自旋回波信号,以便确定  $T_1$  值。

如果采用图 1(a) 的射频脉冲作用到原子核上,先会使原子核处于饱和状态[图 1(a) 中脉冲为零处无射频场作用,脉冲为高电平时有强射频场作用]。恒定磁场中的原子核受到这种共振频率的射频场作用,在旋转坐标系中(旋转频率为共振频率)恒定磁场的方向为  $z$  方向,射频场方向为  $x'$  方向,其核磁化强度矢量的运动轨迹如图 1(b) 所示,若  $M_{z\max}(t)$  为磁化强度矢量在  $z$  轴上的投影极大值,  $M_0$  为未加射频场时磁化强度矢量在  $z$  轴上投影的最大值,则它们随时间  $t$  的变化有下面的关系<sup>[3]</sup>:

物理

$$M_{z\max}(t) = M_0 A e^{-\frac{1}{2}(\frac{1}{T_1} + \frac{1}{T_2})t}, \quad (1)$$

式中  $A$  为常数,由此可见  $M_{z\max}(t)$  随  $t$  的增加渐渐变为零。

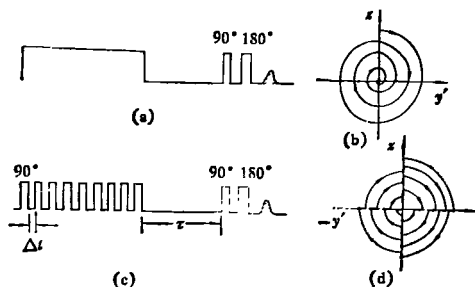


图 1 核磁化矢量在射频场作用下的饱和

用图 1(a) 方式使核处于饱和状态所需要的射频功率很大,发射机长时间这样工作困难较大。所以常采用图 1(c) 的脉冲序列(即梳状饱和脉冲序列),也能使核达到饱和,发射机的瞬间发射功率很大,但平均发射功率并不大,故很容易实现。梳状部分脉宽都相同,但脉冲的宽度可以调节;脉冲间距  $\Delta t$  也都相同,也可调节其大小。调节脉宽,能使磁化强度矢量旋转  $90^\circ$ ,如有  $K$  个梳齿脉冲作用(这里  $K = 0, 1, 2, \dots$ ),其中第  $K = (4i-1)$  和  $K = (4i-3)$  个  $90^\circ$  脉冲作用使磁化强度矢量运动到  $\pm y'$  轴上,第  $K = (4i)$  个脉冲作用使磁化强度矢量运动到  $z$  轴上,第  $K = (4i-2)$  个脉冲作用使磁化强度矢量运动到  $-z$  轴上(这里  $i = 1, 2, 3, \dots$ )。因此,磁化强度矢量的大小(即模的值)有下列关系:

$$\begin{aligned} \text{在 } y' \text{ 轴上, } M(K) &= M(4i-1) \\ &= M_0(4i-1)e^{-\frac{\Delta t}{T_1}}; \end{aligned} \quad (2)$$

$$\begin{aligned} \text{在 } -y \text{ 轴上, } M(K) &= M(4i-3) \\ &= M_0(4i-3)e^{-\frac{\Delta t}{T_2}}. \end{aligned} \quad (3)$$

$$\begin{aligned} \text{在 } -z \text{ 轴上, } M(K) &= M(4i-2) \\ &= M_0(1-e^{-\frac{\Delta t}{T_1}}) - M_0(4i-2) \\ &\times e^{-\frac{t}{T_1}}; \end{aligned} \quad (4)$$

$$\begin{aligned} \text{在 } z \text{ 轴上, } M(K) &= M(4i) \\ &= M_0(1-e^{-\frac{\Delta t}{T_1}}) + M_0(4i)e^{-\frac{t}{T_1}}. \end{aligned} \quad (5)$$

上列式中  $M_0(K)$ , 即为  $M_0(4i)$ ,  $M_0(4i-1)$ ,  $M_0(4i-2)$ ,  $M_0(4i-3)$  为第  $K$  个脉冲结束后的磁化强度矢量大小,  $M(K)$  为第  $K+1$  个脉冲出现之前的磁化强度矢量大小。这些方程表明每经过四个  $90^\circ$  脉冲, 磁化强度矢量在  $y'z$  平面上运动一个“循环”, 见图 1(d)。式(2), (3) 表明磁化强度矢量在  $y$  轴上以  $T_2$  为时间常数作指数衰减, 式(4)表明, 磁化强度矢量在  $-z$  轴以  $T_1$  为指数衰减, 而(5)式表明, 它在  $z$  轴方向上以  $T_1$  为时间常数指数增加。(4)式的衰减比(5)式的增加快, 相差为

$$M_0(4i)e^{-\frac{t}{T_1}} + M_0(4i-2)e^{-\frac{t}{T_1}}. \quad (6)$$

因此图 1(d)的磁化强度矢量运动最后至零, 称此状态为饱和态。我们在实验中就是采用这种梳状脉冲使核磁化强度矢量饱和的。

去掉梳状饱和脉冲作用, 核磁化强度矢量按下式在  $z$  方向上随时间而恢复, 即

$$M_z(t) = M_0(1-e^{-\frac{t}{T_1}}). \quad (7)$$

当  $t = \tau$  时, 出现  $90^\circ$  脉冲, 如图 1(c) 所示, 即产生一个自由感应衰减 (FID) 信号, 其峰值大小决定了  $M_z(\tau)$  值。改变时间  $\tau$  就可以测出一组  $M(\tau)$  值, 同时测出  $M_0$  值。由上式可知

$$\ln \frac{M_0 - M_z(\tau)}{M_0} = \frac{\tau}{T_1}, \quad (8)$$

由此可得  $T_1$  值。对于不同的  $\tau$  值下的测量, 可以作出  $T_1$  的多次测量平均值, 或根据式(8)作图由斜率求得。

由于 FID 信号是紧跟在很强的  $90^\circ$  脉冲之后的, 接收机在强脉冲作用下存在阻塞现象,

有一段“死时间,”因此很难测准其峰值的大小, 但可以用回波的方法测量其峰的大小, 即在  $90^\circ$  脉冲之后再加一个  $180^\circ$  脉冲, 通过观察其回波的峰值来测量;  $180^\circ$  脉冲要尽可能离  $90^\circ$  脉冲近些, 以便减小  $T_2$  作用对测量的影响, 使测量更准确。

## 二、实验与结果

测量  $T_1$  的梳状饱和法实验装置如图 2 所示, 用多功能序列脉冲发生器产生的梳状饱和序列脉冲去控制发射机, 发射机平时不产生  $24\text{MHz}$  的射频功率信号, 只有序列脉冲出现

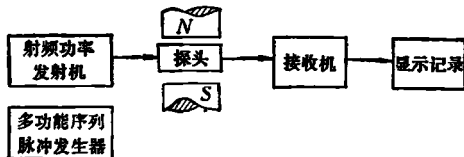


图 2 梳状饱和法测量下的实验框图

时, 才产生  $24\text{MHz}$  射频功率脉冲, 馈送至探头去激发样品, 使原子核磁化强度矢量旋转。探头线圈获得的核磁共振信号被送到接收机, 经放大检波后被显示和记录。我们用示波器显示共振信号并用拍照方法进行记录。实验中梳状饱和脉冲的个数、所有脉冲的间距及脉冲宽度都可准确调节,  $\tau$  值亦可准确读出。图 3 是用甘油作为样品观察的信号照片, 图 3(a) 是全部脉冲与激发信号图, 可以看到在左边的梳齿脉冲作用下基线向上移了, 这是由于接收机二极管检波后平滑滤波的时间常数较大造成的。图 3(c) 为图 3(a) 右边回波信号部分的放大, 它是用回波信号前的  $90^\circ$  脉冲去触发同步示波器得到的。

图 4 显示了测量过程的信号图。脉冲序列各参数注于图的说明之中, 图 4(a) 的  $\tau$  值为  $20\text{ms}$ , 图 4(b) 的  $\tau$  值为  $40\text{ms}$ , 图 4(c) 的  $\tau$  值为  $80\text{ms}$ ; 测出它们回波高度  $M(\tau)$  值, 当  $\tau$  很大时, 回波信号不随  $\tau$  增加而增加了, 此时回波的高度为  $M_0$ 。有了这些很容易由式(8)的计

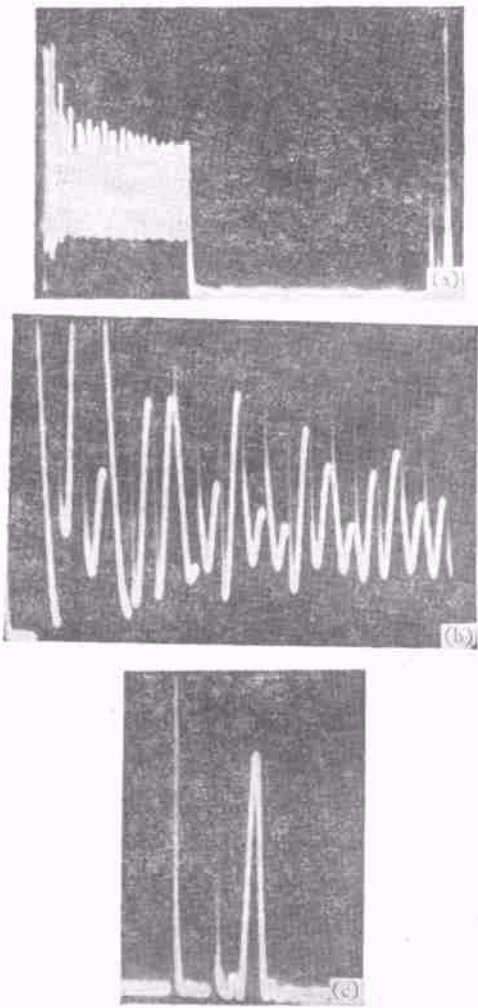


图 3 梳状饱和序列的核信号照片

表 1 若干样品的  $T_1$  实验值 (ms)

样 品	梳状饱和法	零 法
若丹明 6G	$68 \times 10^2$	$66 \times 10^2$
甲醛	$14 \times 10^2$	$13 \times 10^2$
正丁醇	$85 \times 10^2$	$79 \times 10^2$
胡萝卜叶梗	$81 \times 10^2$	$85 \times 10^2$
蒸馏水	$21 \times 10^2$	$23 \times 10^2$
甘油	89	93

算与处理得到样品的  $T_1$  值。

表 1 给出了一些样品在室温下测量的结果。可见对医用的含氧蒸馏水的  $T_1$  测量, 获得了与有关文献相近的结果<sup>[4]</sup>, 表中还列出了用

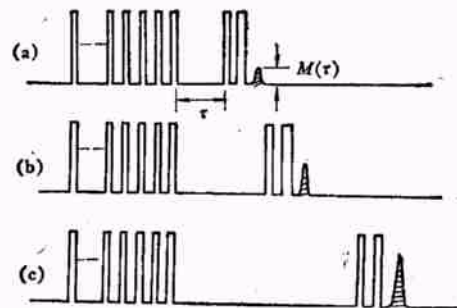


图 4 梳状饱和测量  $T_1$ , 前面是梳齿脉冲, 间隔  $\Delta t$  为  $1.12\text{ms}$ , 梳齿脉冲个数为 20, 后面经时间  $\tau$  有  $90^\circ$ ,  $180^\circ$  脉冲产生的回波,  $90^\circ$  脉冲宽度为  $50\mu\text{s}$ ,  $180^\circ$  脉冲宽度为  $100\mu\text{s}$ .

$180^\circ-\tau-90^\circ-\Delta\tau-180^\circ$  脉冲序列(即“零”法, 或翻转恢复法)测量  $T_1$  值的结果, 二者基本符合。

### 三、讨 论

1. 在梳齿脉冲宽度选择上, 使磁化强度矢量旋转  $90^\circ$  的脉冲比其它旋转角的脉冲宽度更好, 测量  $T_1$  也较准确。在两个梳齿之间  $\Delta t$  中, 由于  $T_1$  的作用磁化强度矢量恢复成  $M_0(\Delta t)$ , 最后一个梳齿脉冲使磁化矢量绕  $H_1$  旋转角  $\theta$  (见图 5), 则它在  $z$  轴上投影为  $M_0(\Delta t)\cos\theta$ , 若  $\theta \approx 90^\circ$ , 则  $M_0(\Delta t)\cos\theta \approx 0$ , 在脉冲序列  $\tau$  的时间内, 磁化强度矢量不是从零恢复, 而是有一定的初值, 特别是  $T_1$  短的情况下, 该值不很小, 这就影响了  $T_1$  的准确测量。只有  $\theta=90^\circ$

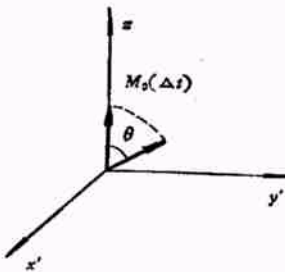


图 5 梳齿脉冲使磁化强度矢量转角  $\theta \neq 90^\circ$  情况

的情况才使  $M_0(\Delta t)\cos\theta = 0$ 。由图 3(b) 可见, 随着等间距的脉冲激发, 会出现有趣的 FID 与半个回波的叠加信号。

2. 关于梳齿脉冲间距  $\Delta t$  的选择, 一般地说  $\Delta t$  不能太大。对于  $T_1$  小的样品, 在测量  $T_1$  时, 常从较小的  $\tau$  值开始变大, 去测量回波高度, 若  $\Delta t$  大, 也会使最后一个梳齿脉冲前的  $z$  方向磁化强度矢量的幅值  $M_0(\Delta t)$ ,  $\tau$  后面的  $90^\circ$  及  $180^\circ$  脉冲作用也会引起一些杂乱回波影响要测量的回波强度。当然, 前面说的  $\theta \neq 90^\circ$  也会因脉冲间距  $\Delta t$  大而较大地影响测量的准确性。

3. 关于梳齿脉冲个数的选择。我们的仪器可逐一选择 1 到 9999 个梳齿脉冲。调节脉冲个数, 当磁化强度矢量不影响后面回波信号的强度时, 表明已选择合适了。对于  $T_1$ ,  $T_2$  短的样品, 梳齿脉冲少一些就可达到饱和, 也即饱和快一些。反之, 对于  $T_1$  长的样品, 梳齿脉冲个数要多些。

4. 对于弛豫时间短的样品, 最好不要用图 3(b) 的回波测量, 而用  $\tau$  后  $90^\circ$  脉冲的自由感

应衰减信号测量, 这样测量的  $T_1$  较准些,  $T_2$  影响小些。然而, 由于接收机“死时间”的仪器条件限制, 要用回波观察时, 则尽量使图 3(b)  $90^\circ$  脉冲与  $180^\circ$  脉冲之间的间距短一些。

5. 用梳状饱和法测量  $T_1$  的过程中, 对  $M_0$  的测量要特别仔细。要有足够的恢复时间, 保证  $M_0$  的准确测量, 不然在用(8)式计算  $T_1$  时会产生较大的误差, 要求整个序列的周期大于  $T_1$  值的 5 倍, 来减小测量误差。可见用此法测量  $T_1$  要比“零法”来得费时些。

## 参 考 文 献

- [1] T. C. Farrar and E. D. Becker, Pulse and Fourier Transform NMR—Introduction to Theory and Methods, Academic Press, New York, (1971), 20.
- [2] 上海肿瘤波谱学研究小组, 自然杂志, 3-3 (1980), 238.
- [3] R. Damadian, *Science*, 171 (1971), 1151.
- [4] A. Лёше, Ядерная Индукция, Издательство Иностранной Литературы, Москва, (1963), 90.

## 关于召开“国际原子核集体运动态专题讨论会”的预告

国际原子核集体运动态专题讨论会将于 1983 年 9 月 8 日—9 月 18 日在苏州举行。初步拟定的主要讨论问题如下:

- 1. 新近的实验对各种原子核集体模型的检验;
- 2. 原子核的单粒子运动、集体运动及其它运动形态;
- 3. 核集体运动态的微观理论;
- 4. 相互作用玻色子模型的改进与扩展及其与玻尔-莫特逊模型的关系;
- 5. 高自旋态的理论与实验;
- 6. 处理量子系统的代数方法。

会议期间的工作语言为英语, 不设翻译。

(北京, 中国核物理学会)

## 关于举办“国际核子-核子相互作用和核多体问题暑期讲习班”的预告

国际核子-核子相互作用和核多体问题暑期讲习班将于 1983 年 7 月 25 日至 8 月 1 日在长春举办。

讲习班上除特邀的讲座和当前感兴趣的专题报告外, 还将有经过选择的成果报告, 讲座是为“非专家”开设的, 计划的内容比较基本, 比较齐全。正式用的语言是英语。有关讲习班事宜请与“北京 275 信箱 41 分箱原子能研究所”联系。